面向隧道仰拱的高频地震波逆时偏移成像

杨礼胜, 黄金强

(贵州大学资源与环境工程学院,贵州贵阳 550025)

摘 要: 仰拱作为隧道结构的主要组成部分之一, 其施工质量关系着隧道的运行安全, 因此开展隧道仰拱施工质量检测 至关重要。逆时偏移是当前油气勘探领域最前沿的一种成像方法,本文通过频率拓展处理及 GPU 并行优化,将该方法 推广至隧道仰拱质量检测中。通过开展两个典型仰拱模型的逆时偏移试算,其结果表明: 拓展至高频后的逆时偏移方法 能够实现对仰拱内部结构的准确成像、达到准确、快速、无损检测的目的。

关键词: 隧道仰拱; 施工质量检测; 逆时偏移; 频率拓展; 无损检测

中图分类号: U456 文献标识码: A 文章编号: 1006-7973 (2022) 10-0158-03

1 引言

仰拱主要用于改善隧道上部支护结构的受力条件, 仰拱的施工质量不达标会在隧道运营过程中产生很大的 安全隐患,因此,开展隧道仰拱质量检测是确保隧道安 全的重要内容之一[1]。

当前隧道仰拱的检测方法主要有无损的地质雷达 法、瞬态面波法以及微损的钻孔法。钻孔法具有一定的 破坏性,已逐渐被仰拱检测行业淘汰; 瞬态面波法精度 不足,经常出现遗漏和误判,需结合钻孔法进行综合判 定[2]; 地质雷达法精度高、检测速度快, 成为目前仰拱 检测的主流技术, 但也存在一个固有缺陷, 即由于钢筋 网对电磁波的吸收衰减严重,导致钢筋网下覆介质中病 害问题难以检测,如:工字钢缺失或间距过大等问题[3]。

在地球物理领域,随着物探技术与计算机技术的目 益发展, 出现了很多新兴的无损检测理论与方法, 如逆

时偏移,该方法在油气勘探、工程物探、人脑检测中都 展现出巨大的潜力,是地震勘探领域最具潜力的成像技 术之一[4]。本文提出将该方法进行频率拓展,以适应小 尺度仰拱检测,同时,考虑到计算成本,采用了GPU 并行加速策略。最后,通过对两个典型的仰拱模型进行 逆时偏移成像试算,验证了本方法的可行性及有效性。

2 方法原理

逆时偏移的基本原理是利用地震波在地下介质中 的传播规律,通过波场正传、波场重构与波场反传计算 出准确的震源波场与检波点波场,然后对同一时刻的两 个波场值,利用互相关成像条件提取该时刻的成像值, 最后对所有时刻的成像值进行叠加,即可得到完整的成 像剖面[5]。

在二维各向同性声波介质中,一阶速度一应力方程

仰拱结构的快速、高效、全面且精细化检测,为无损检 测提供了新思路。

参考文献:

[1] 白国权. 隧道仰拱缺陷程度划分组合与处治措施探析 [J]. 公路, 2016, (10): 251-256.

[2] 杨勤勇, 胡光辉, 王立歆. 全波形反演研究现状及发 展趋势 []]. 石油物探, 2014, 53(1): 77-83.

[3] 杨午阳, 王西文, 雍学善, 等. 地震全波形反演方法研 究综述 [J]. 地球物理学进展, 2013, 28(2): 766-776.

[4] Tarantola A. Linearized inversion of seismic reflection data[J]. Geophysical Prospecting, 1984, 32(6): 998-1015.

[5] 何云川,黄金强,金宗玮.基于褶积目标泛函的弹性

波全波形反演 [C]. 中国石油学会 2021 年物探技术研讨会论文 集, 2021: 1296-1299.

[6] 刘宇航,黄建平,杨继东,等.弹性波全波形反演中 的四种优化方法对比 []]. 石油地球物理勘探, 2022, 57(1): 118-128.

[7] Fletcher R, Reeves C M. Function minimization by conjugate gradients[J]. The Computer Journal, 1964, 7(2): 149 -154.

[8]Bunks C, Saleck F M, Zaleski S, et al. Multiscale seismic waveform inversion[J]. Geophysics, 1995, 60(5): 1457-1473.

基金项目: 贵州省科技计划项目(黔科合基础 [2020]1Y174, 黔科合基础 -ZK[2022] 一般 060)

可表示为如下形式:

$$\begin{cases} \frac{\partial P}{\partial t} = -\rho v^2 \left(\frac{\partial v_x}{\partial x} + \frac{\partial v_z}{\partial z} \right) \\ \frac{\partial v_x}{\partial t} = \frac{1}{\rho} \frac{\partial P}{\partial x} \\ \frac{\partial v_z}{\partial t} = \frac{1}{\rho} \frac{\partial P}{\partial z} \end{cases}$$
(1)

式中, x、z 为空间坐标, t 为时间坐标, ρ 为密度, v 为纵波速度, p 为压力波场, v_x 、 v_z 分别为 x 方向和 z 方向的质点振动速度。有限差分法具有高效且易于实现的特点,本文采用交错网格高阶有限差分法对式(1)进行离散求解。以 x 方向为例,速度分量 v_x 和压力波场 p 的 2L 阶离散格式为 [6]:

$$\begin{cases} v_{x_{i+\frac{1}{2},j}}^{t+\frac{1}{2}} = v_{x_{i+\frac{1}{2},j}}^{t-\frac{1}{2}} + \frac{\Delta t}{\rho \Delta x} \sum_{m=1}^{L} C_{m}^{(N)} \left(P_{i+m,j}^{t} - P_{i-m+1,j}^{t} \right) \\ P_{i,j}^{t+1} = P_{i,j}^{t} + \frac{v^{2} \Delta t}{\rho \Delta x} \sum_{m=1}^{L} C_{m}^{(N)} \left(v_{x_{i+\frac{2m-1}{2},j}}^{t+\frac{1}{2}} - v_{x_{i+\frac{2m-1}{2},j}}^{t+\frac{1}{2}} \right) \end{cases}$$

$$(2)$$

式中, Δx 为 x 方向网格间距, Δt 为时间步长, $C_m^{(N)}$ 为有限差分系数。式(2)即为震源波场正向时间延拓公式。检波点波场反向延拓就是正演的逆过程,其延拓公式与正向延拓公式类似:

$$\begin{cases} v_{x_{i+\frac{1}{2}j}}^{t-\frac{1}{2}} = v_{x_{i+\frac{1}{2}j}}^{t+\frac{1}{2}} + \frac{\Delta t}{\rho \Delta x} \sum_{m=1}^{L} C_{m}^{(N)} \left(P_{i-m+1,j}^{t} - P_{i+m,j}^{t} \right) \\ P_{i,j}^{t} = P_{i,j}^{t+1} + \frac{v^{2} \Delta t}{\rho \Delta x} \sum_{m=1}^{L} C_{m}^{(N)} \left(v_{x_{i-\frac{2m-1}{2}j}}^{t+\frac{1}{2}} - v_{x_{i+\frac{2m-1}{2}j}}^{t+\frac{1}{2}} \right) \end{cases}$$

$$(3)$$

根据成像条件,震源波场与检波点波场需在同一时刻进行成像,而波场延拓过程中,两者并不一致,震源波场是正向计算的,而检波点波场是反向计算的,因此需要将所有时刻的震源波场存储到磁盘中,成像时再读入内存,这需耗费极大的存储和 I/O 成本,为了节约存储与 I/O 成本,本文采用了波场重构技术,即仅存储震源波场的边界值,在反传时,通过波场重构恢复震源波场,以计算换取存储,为了进一步提升计算效率,本文在波场正传、波场重构、波场反传计算中都采用 GPU并行加速 ^[7]。

最后,将同一时刻的震源波场和检波点波场进行零延迟互相关,即可得到该时刻的成像值,再将所有时刻的成像值进行叠加,即可得到该炮的逆时偏移成像结果,其公式为^[8]:

$$I(x,z) = \int_{0}^{T_{\text{max}}} S(x,z,t)R(x,z,t)dt$$
 (4)

其中,I(x,z)为最终成像结果,S(x,z,t)表示震源波场,R(x,z,t)表示检波点波场。

3 模型试算

为了验证本文方法的有效性,依据波速与砼等级、钢筋的关系,首先建立了两个二维仰拱波速模型,图1(a)表示工字钢完整的仰拱波速模型,图1(b)表示工字钢缺失的仰拱波速模型,图中可见:相对图1(a),图1(b)中从左往右依次缺失了1根、2根、3根、4根工字钢。上述两个模型尺寸相同,都为10m×3m,该模型在x方向有501个网格点,在z方向有151个网格点,网格点间距都为0.02m,模型中最大速度为5900m/s,最小速度2500m/s;震源为主频为15000Hz的雷克子波,一共激发51炮,炮间距为0.2m,炮点深度为0m,从0m处开始激发;采用地表满接收方式,每炮共设置251个检波点,检波点间距为0.04m,起始检波点位置为0m;时间采样点数为4001,时间步长为0.001ms,记录时间4ms。

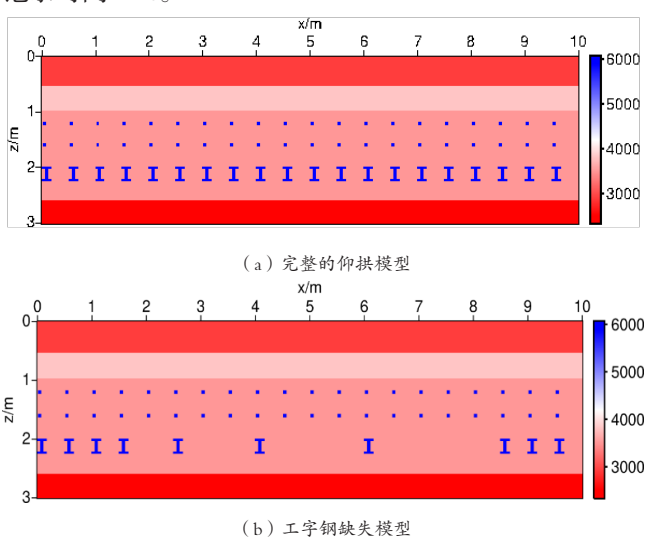
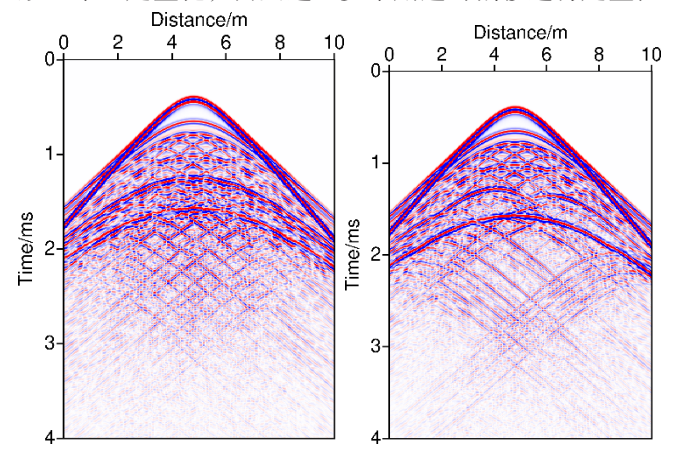


图 1 二维仰拱速度模型

根据上述观测系统与计算参数,合成两个模型的地震数据,用于模拟野外实际采集过程,所得结果分别如图 2(a)和(b)所示,对比可见:图 2(a)中模型分界面所对应的反射波更为清晰,同相轴连续性较好,由钢筋网及工字钢所产生的绕射波也具有较好的呈现;而在图 2(b)中,由于工字钢不完整,正演记录也会存在一定差异,图中可以清晰地看出钢筋网下层界面所对

应的反射波同相轴不连续、工字钢界面对应的绕射波部 分缺失(如图 2(b) 中虚线框所指)。虽然从地震记 录中可粗略地判断仰供是否存在病害,但病害体的位置、 形态难以定量化,需要讲一步采用逆时偏移讲行定量检



- (a) 完整的仰拱模型:
- (h) 工字钢缺失模型

图 7 仰拱模型的单均正演结果

本文采用相同的偏移速度和成像方法对上述两个 模型进行逆时偏移成像试处理,成像结果分别如图3(a)、 (b) 所示, 图 3(a) 为工字钢完整时的仰拱模型成像 结果,图3(b)为工字钢缺失时的仰拱模型成像结果, 对比可见: 两个成像结果与其给定模型的分界面具有高 度的一致性,分辨率较高,成像效果良好,特别是仰拱 内部结构的混凝土分界面、钢筋网与工字钢的位置、几 何形态都得到清晰的刻画; 从工字钢缺失模型的成像剖 面中还可看到, 工字钢缺失的位置和缺失的数量都十分 清晰,这表明该检测方法具有很好的适应性和优势,也 验证了将逆时偏移方法应用于隧道仰拱质量检测中具有 一定的可行性。

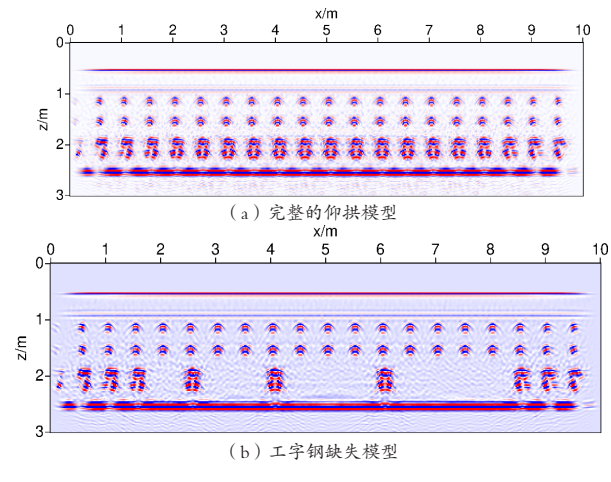


图 3 仰拱模型的逆时偏移成像结果

4 结论

本文将逆时偏移方法应用到隧道仰拱质量检测中, 利用高频拓展实现了对小尺度模型的精确成像,同时引 入波场重构与 GPU 并行策略,有效地提高了波场延拓 效率. 降低了存储与 I/O 成本。典型模型测试结果表明: 逆时偏移可以实现对仰拱模型的高精度快速成像, 能够 直观地定位仰拱中异常体的位置和形态,特别是工字钢 的成像效果十分显著,验证了逆时偏移成像方法在隧道 仰拱质量检测中的可行性与实用性。

参考文献:

- [1] 上官涛. 铁道隧道底部病害成因分析与质量检测技术 []]. 铁道建筑, 2015(6):64-66.
- [2] 刘继滨,张方,汪旭,等.瞬态面波法在隧道仰拱质量 检测中的应用研究 []]. 路基工程, 2018(1):115-119.
- [3] 申付全. 隧道仰拱施工质量检测方法探讨 [[]. 路基工 程, 2017(3): 208-211.
- [4] 李振春. 地震偏移成像技术研究现状与发展趋势 [[]. 石油地球物理勘探,2014,49(1):1-21.
- [5] 何兵寿,高琨鹏,徐国浩.各向异性介质中弹性波逆 时偏移技术的研究现状与展望 [[]. 石油物探, 2021, 60(2): 210 - 223
- [6] 彭更新,刘威,郭念民,等.基于时空域交错网格有 限差分法的应力速度声波方程数值模拟 [[]. 石油物探, 2022, 61(1):156-165.
- [7] 张慧,蔡其新,秦广胜,等.基于GPU并行加速的逆 时偏移成像方法 [[]. 石油地球物理勘探,2013,48(5):707-710.
- [8] 薛浩, 刘洋. 基于多方向波场分离的逆时偏移成像方 法 [J]. Applied Geophysics, 2018, v.15(2):76-87.

基金项目: 贵州省科技计划项目(黔科合基础 [2020]1Y174, 黔科合基础 -ZK[2022] 一般 060)